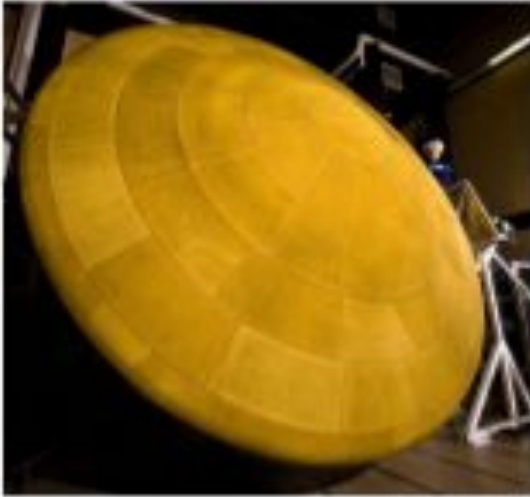




# Adaptation de maillage pour la simulation de la pyrolyse d'un matériau de protection thermique

Encadré par C.Barranger et H.Beaugendre

# Objectifs



Bouclier thermique PICA de la sonde  
Mars Science Laboratory (2011).

Contexte : matériaux de protections thermiques dans le domaine de l'aérospatial.

- Etudier le **front de pyrolyse** dans un objet soumis à un flux de chaleur
- **Simuler** le phénomène numériquement **en 1D**
- Mettre en place une **méthode d'adaptation** de maillage

# Modélisation mathématique

- Loi d'Arrhenius et de la chaleur couplées :

$$\begin{cases} \frac{\partial}{\partial t} (\rho C_p (T - T_0) + L_m \rho) - \text{div}(\lambda \nabla T) = 0 \\ \frac{\partial \rho}{\partial t} = -A_{ref} e^{-T_A/T} (\rho - \rho_p) \end{cases}$$

- Modélisation de la variation des constantes physiques

$$\begin{cases} \rho C_p = (1 - \xi) \rho_v C_{pv} + \xi \rho_p C_{pp} \\ \lambda = (1 - \xi) \lambda_v + \xi \lambda_p \end{cases}$$

# Mise en place de la méthode des volumes finis

- Étape 1 : Résolution de l'équation d'Arrhenius

$$\forall t \in [t_n, t_{n+1}], \quad \frac{\partial \rho}{\partial t}(x, t) = -A_{ref} e^{-T_A/T(t_n, x)} (\rho(x, t) - \rho_p)$$

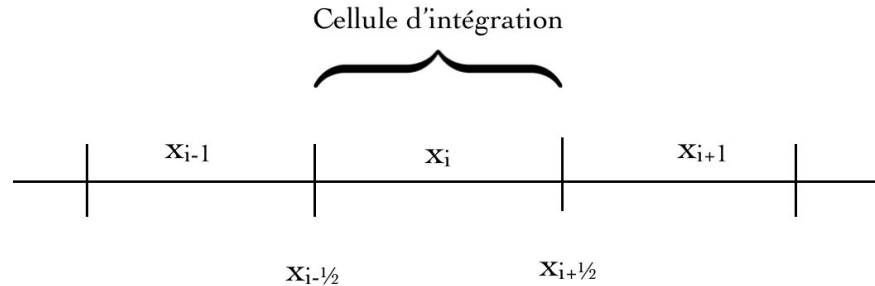
$$\rho^* = \frac{\rho_i^n + \Delta t \rho_p A_{ref} e^{-T_A/T_i^n}}{1 + \Delta t A_{ref} e^{-T_A/T_i^n}}$$

- Étape 2 : Calcul des grandeurs physiques, de manière intermédiaire

$$\xi^* = \frac{\rho_v - \rho^*}{\rho_v - \rho_p}, \quad C_p^* = \frac{(1 - \xi^*)\rho_v C_{pv} + \xi^* \rho_p C_{pp}}{\rho^*}, \quad \lambda^* = (1 - \xi^*)\lambda_v + \xi^* \lambda_p$$

- Étape 3 : Résolution de l'équation de la chaleur

$$\forall t \in [t_n, t_{n+1}], \quad \frac{\partial}{\partial t} (\rho^\star(x) C_p^\star(x) T + L_m \rho) - \lambda^\star \operatorname{div}(\nabla T) = 0$$



$$\int_{x_{i-1/2}}^{x_{i+1/2}} \rho^\star(x) C_p^\star(x) (T(t_{n+1}, x) - T(t_n, x)) dx - \int_{t_n}^{t_{n+1}} \int_{x_{i-1/2}}^{x_{i+1/2}} \lambda^\star(x) \frac{\partial^2 T}{\partial x^2} dx dt = L_m h_i \Delta t f(\rho^\star)$$

Approximation de la température :

$$T_i^n = \frac{1}{h_i} \int_{x_{i-1/2}}^{x_{i+1/2}} T(t_n, x) dx$$

Équation exacte exprimant les flux, dus à l'intégrale en temps de la dérivée en espace :

$$\rho_i^* C_{p_i}^* h_i (T_i^{n+1} - T_i^n) - \lambda_i^* \Delta t \left( \frac{\partial T}{\partial x}(t_{n+1}, x_{i+\frac{1}{2}}) - \frac{\partial T}{\partial x}(t_{n+1}, x_{i-\frac{1}{2}}) \right) = L_m h_i \Delta t f(\rho_i^*)$$

# Schéma volumes finis

Approximation par différences finies :

$$\frac{\partial T}{\partial x}(t_{n+1}, x_{i+\frac{1}{2}}) = 2 \frac{T_{i+1}^{n+1} - T_i^{n+1}}{h_i + h_{i+1}} + O(\max(h_i, h_{i+1}))$$

Schéma valable à l'intérieur du maillage :

$$T_i^{n+1} = T_i^n + \frac{2\lambda_i^* \Delta t}{\rho_i^* C_{p_i}^*} \frac{1}{h_i} \left( \frac{(h_{i-1} + h_i)T_{i+1}^{n+1} - (h_{i-1} + 2h_i + h_{i+1})T_i^{n+1} + (h_i + h_{i+1})T_{i-1}^{n+1}}{(h_i + h_{i-1})(h_i + h_{i+1})} \right) + \frac{L_m}{\rho_i^* C_{p_i}^*} \Delta t f(\rho_i^*)$$

# Conditions aux limites

- **Limite à gauche** 
$$\begin{cases} \Phi(t) = 10000t \text{ pour } t \in [0, 50] \\ \Phi(t) = 500000 - 9000(t - 50) \text{ pour } t \in [50, 100] \end{cases}$$

Loi de Fourier :  $\phi = -\lambda \partial_x T$

Schéma sur le bord gauche :

$$T_1^{n+1} = T_1^n + \frac{2\lambda_1^* \Delta t}{\rho_1^* C_{p1}^*} \frac{1}{h_1} \left( 2 \frac{T_2^{n+1} - T_1^{n+1}}{h_1 + h_2} + \frac{\Phi}{\lambda^*} \right) + \frac{L_m}{\rho_1^* C_{p1}^*} \Delta t f(\rho_1^*)$$



- **Limite à droite**

- bord adiabatique

- dissipation d'énergie nulle  $\rightarrow$  Loi de Fourier :  $\partial_x T = 0$

$$T_N^{n+1} = T_N^n + \frac{2\lambda_N^* \Delta t}{\rho_N^* C_{pN}^*} \frac{1}{h_N} \left( -2 \frac{T_N^{n+1} - T_{N-1}^{n+1}}{h_{N-1} + h_N} \right) + \frac{L_m}{\rho_N^* C_{pN}^*} \Delta t f(\rho_N^*)$$

# Résolution du schéma numérique

Schéma sous forme matricielle

$$(I + A)\tilde{T}^{n+1} = \tilde{T}^n + \tilde{f}$$

avec

$$\tilde{f} = \begin{pmatrix} \gamma_1 + \frac{\Delta t \Phi}{\rho_1 C_{p1} h_1} \\ \gamma_2 \\ \vdots \\ \gamma_N \end{pmatrix} \quad \text{où} \quad \gamma_i = \frac{L_m \Delta t}{\rho_i^* C_{pi}^*} f(\rho_i^*) \quad \forall i = \{1, N\}$$

et

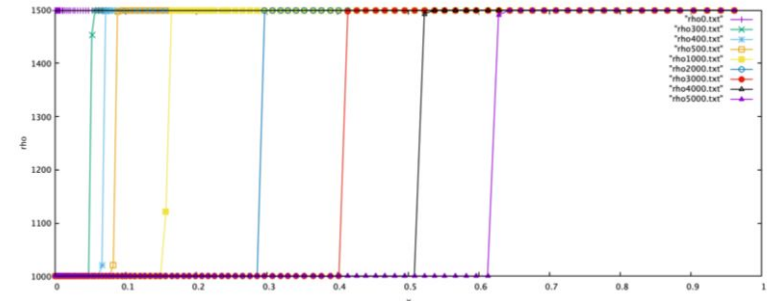
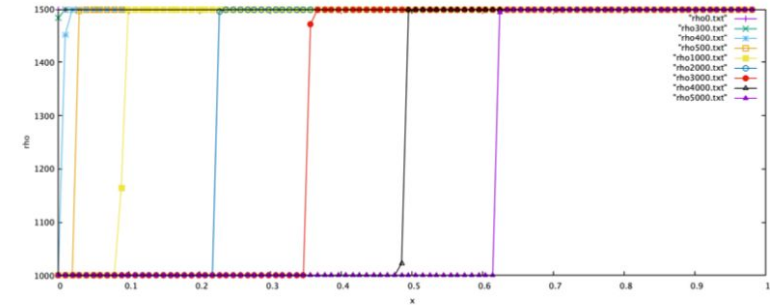
$$A = \begin{pmatrix} \frac{2\lambda_1^* \Delta t}{\rho_1^* C_{p1}^* h_1 \beta_1} & \frac{-2\lambda_1^* \Delta t}{\rho_1^* C_{p1}^* h_1 \beta_1} & & & & \\ -\alpha_2 \beta_2 & \alpha_2(\beta_1 + \beta_2) & -\alpha_2 \beta_1 & & & \\ & \ddots & \ddots & \ddots & & \\ & & -\alpha_{N-1} \beta_{N-1} & \alpha_{N-1}(\beta_{N-2} + \beta_{N-1}) & -\alpha_{N-1} \beta_{N-2} & \\ & & & \frac{-2\lambda_N^* \Delta t}{\rho_N^* C_{pN}^* h_N \beta_{N-1}} & \frac{2\lambda_N^* \Delta t}{\rho_N^* C_{pN}^* h_N \beta_{N-1}} & \end{pmatrix}$$

$$\alpha_i = \frac{2\lambda_i^* \Delta t}{\rho_i^* C_{pi}^* h_i \beta_{i-1} \beta_i} \quad \text{et} \quad \beta_i = h_i + h_{i+1}, \quad \forall i \in \llbracket 1, N \rrbracket$$

# Résultats pour un maillage fixe

- 1) Calcul d'un maillage **équidistant fixe**
- 2) Calcul de  $\rho^*$
- 3) Calcul de  $C_p$  et  $\lambda$
- 4) **Résolution du système** pour obtenir T
- 5) Réévaluer  $\rho$  avec la nouvelle T

Front très raide, peu de points  
dessus → **adaptation** de maillage



# Raffinement en structuré

Besoin de raffiner le maillage à cause des variations rapides de la densité sur une section particulière.

- Equilibre d'un ensemble de **ressorts** de raideurs  $k(i)$  :

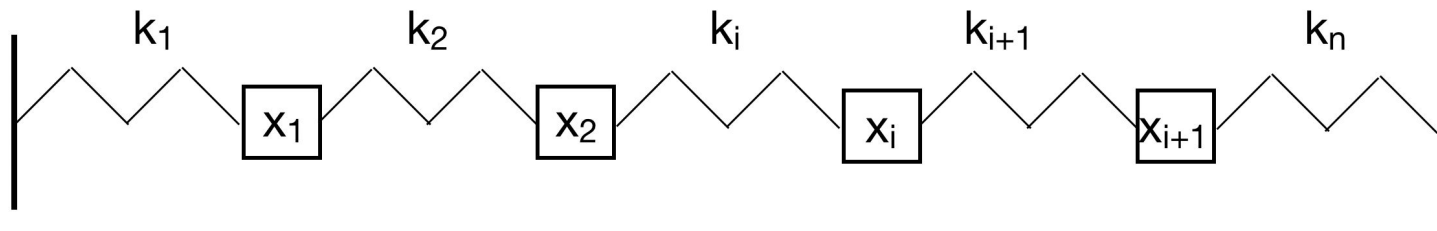
$$k(i) = \frac{\text{metrique}(x_{i-1}) + \text{metrique}(x_i)}{2}$$

- Raideurs calculées à partir de la **métrique** d'un élément du maillage :

$$\text{metrique}(x_i) = \sqrt{\max(|u''(x_i)|, 0.5)}$$

- **Matrice élémentaire de raideur**  $Me_i$

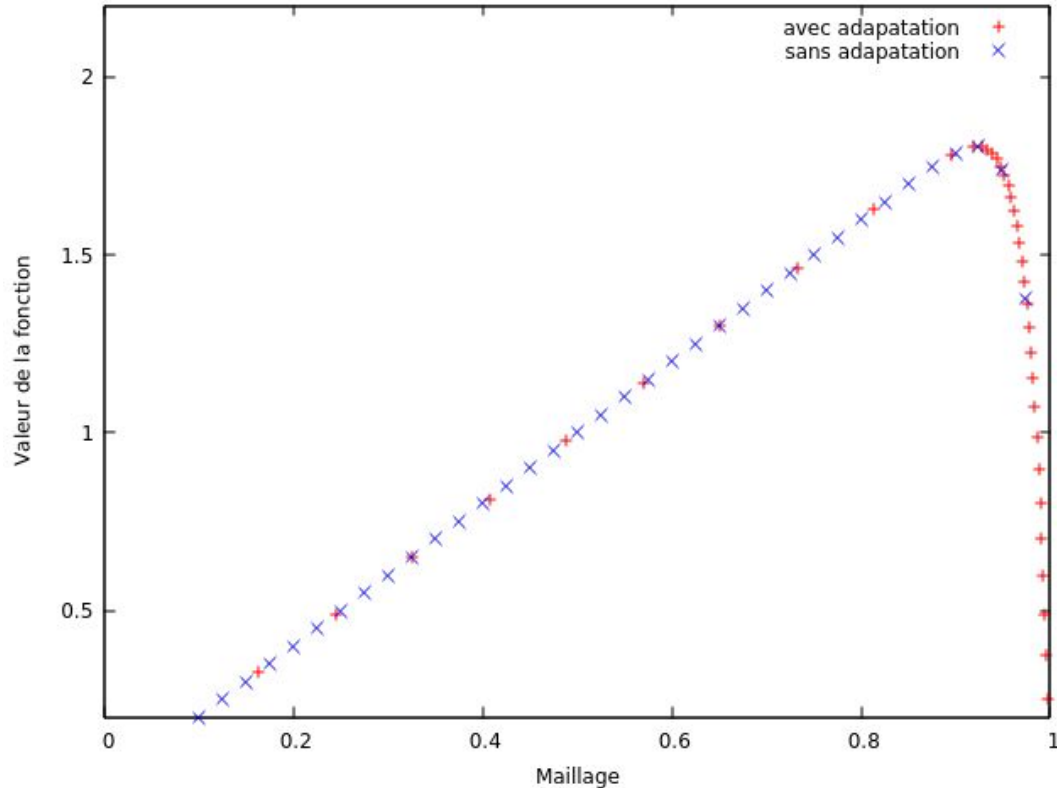
# Structure de la boucle d'adaptation



Représentation schématique de la méthode des ressorts.

- **Conditions d'arrêt** : nombre d'itérations *itemax* et tolérance
- Calcul de la **métrique** en chacun des points du maillage
- **Assemblage** des matrices élémentaires  $Me_i$
- **Résolution** du système  $MX = B$

# Résultat sur un exemple



Représentation d'un maillage 1D avant et après application de la méthode des ressorts.

# Schéma pour un maillage mobile

- Les coordonnées d'espace sont des fonctions du temps :

$$\int_{t_n}^{t_{n+1}} \int_{x_{i-1/2}}^{x_{i+1/2}} \left( \rho^*(x) C_p^*(x) \frac{\partial}{\partial t} T - \lambda^*(x) \frac{\partial^2 T}{\partial x^2} \right) dx dt = \int_{t_n}^{t_{n+1}} \int_{x_{i-1/2}}^{x_{i+1/2}} L_m f(\rho^*) dx dt$$

- Formule de Reynolds :

$$\int_{t_n}^{t_{n+1}} \left( \int_{x_{i-1/2}(t)}^{x_{i+1/2}(t)} \frac{\partial T}{\partial t}(t, x) dx \right) dt \simeq h_i^{n+1} T_i^{n+1} - h_i^n T_i^n - \Delta t \left( \hat{\nu}_{i+1/2} T_{i+1/2}^n - \hat{\nu}_{i-1/2} T_{i-1/2}^n \right)$$

- Définition de la vitesse du maillage :

$$\hat{\nu}_{i+1/2} = \frac{x_{i+1/2}^{n+1} - x_{i+1/2}^n}{\Delta t}$$

- Définitions des temps  $\frac{1}{2}$  :

$$\begin{cases} T_{i+1/2}^n = T_i^n & \text{si } \hat{\nu}_{i+1/2} \geq 0 \\ T_{i+1/2}^n = T_{i+1}^n & \text{si } \hat{\nu}_{i+1/2} < 0 \end{cases}$$



On obtient finalement le schéma suivant :

$$\begin{aligned}
 & \left( h_i^{n+1} T_i^{n+1} - h_i^n T_i^n - (x_{i+1/2}^{n+1} - x_{i+1/2}^n) T_{i+1/2}^n + (x_{i-1/2}^{n+1} - x_{i-1/2}^n) T_{i-1/2}^n \right) \\
 &= \frac{2\lambda_i^* \Delta t}{\rho_i^* C_{p_i}^*} \left( \frac{(h_{i-1}^{n+1} + h_i^{n+1}) T_{i+1}^{n+1} - (h_{i-1}^{n+1} + 2h_i^{n+1} + h_{i+1}^{n+1}) T_i^{n+1} + (h_i^{n+1} + h_{i+1}^{n+1}) T_{i-1}^{n+1}}{(h_i^{n+1} + h_{i-1}^{n+1})(h_i^{n+1} + h_{i+1}^{n+1})} \right) + \Delta t \frac{L_m h_i^{n+1}}{\rho_i^* C_{p_i}^*} f(\rho_i^*)
 \end{aligned}$$

# Conditions aux limites

Utilisations des conditions limites et de la loi de Fourier pour obtenir l'expression de  $T_0$  et  $T_{N+1}$

$$\begin{cases} \frac{\partial T_{1/2}^n}{\partial x} = -\frac{\Phi_{1/2}}{\lambda_{1/2}} \simeq 2 \frac{T_1^n - T_0^n}{h_0^n + h_1^n} \\ \frac{\partial T_{N+1/2}^n}{\partial x} = 0 \simeq 2 \frac{T_{N+1}^n - T_N^n}{h_N^n + h_{N+1}^n} \end{cases}$$

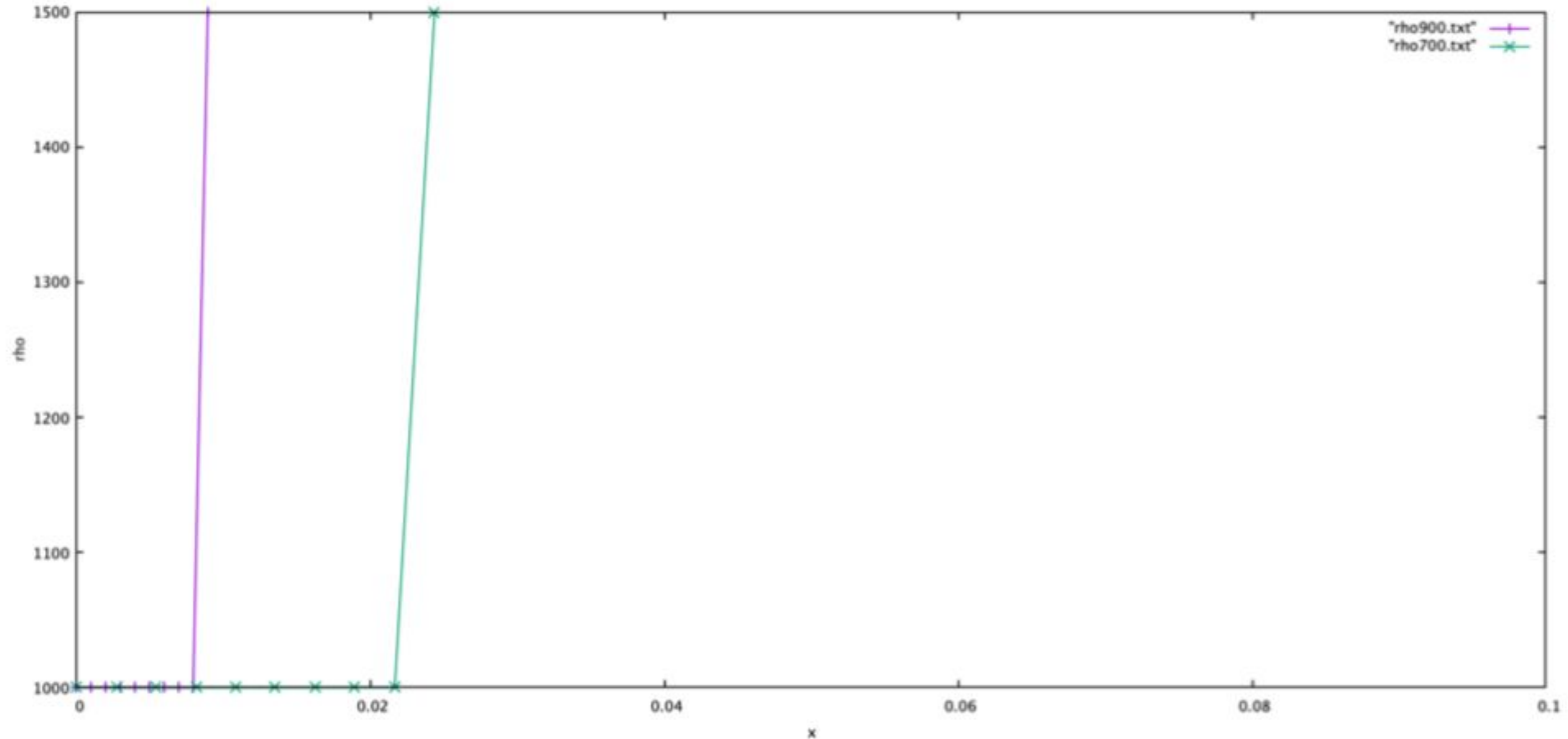
# Mise sous forme matricielle

Schéma sous forme matricielle  $(I + A)\tilde{T}^{n+1} = \tilde{f}$

Second membre

$$\tilde{f} = \begin{pmatrix} \gamma_1 + \frac{\Delta t \Phi}{\rho_1 C_{p1} h_1^{n+1}} \\ \gamma_2 \\ \vdots \\ \gamma_i \\ \vdots \\ \gamma_{N-1} \\ \gamma_N \end{pmatrix} + \begin{pmatrix} \frac{\Delta t}{h_1^{n+1}} \left( \hat{\nu}_{3/2}^+ T_1^n + \hat{\nu}_{3/2}^- T_2^n - \hat{\nu}_{1/2}^+ \left( T_1^n + \frac{\Phi(h_0^n + h_1^n)}{2\lambda_{1/2}} \right) - \hat{\nu}_{1/2}^- T_1^n \right) \\ \frac{\Delta t}{h_2^{n+1}} \left( \hat{\nu}_{5/2}^+ T_2^n + \hat{\nu}_{5/2}^- T_3^n - \hat{\nu}_{3/2}^+ T_1^n - \hat{\nu}_{3/2}^- T_2^n \right) \\ \vdots \\ \frac{\Delta t}{h_i^{n+1}} \left( \hat{\nu}_{i+1/2}^+ T_i^n + \hat{\nu}_{i+1/2}^- T_{i+1}^n - \hat{\nu}_{i-1/2}^+ T_{i-1}^n - \hat{\nu}_{i-1/2}^- T_i^n \right) \\ \vdots \\ \frac{\Delta t}{h_{N-1}^{n+1}} \left( \hat{\nu}_{N-1/2}^+ T_{N-1}^n + \hat{\nu}_{N-1/2}^- T_N^n - \hat{\nu}_{N-3/2}^+ T_{N-2}^n - \hat{\nu}_{N-3/2}^- T_{N-1}^n \right) \\ \frac{\Delta t}{h_N^{n+1}} \left( \hat{\nu}_{N+1/2}^+ T_N^n + \hat{\nu}_{N+1/2}^- T_N^n - \hat{\nu}_{N-1/2}^+ T_{N-1}^n - \hat{\nu}_{N-1/2}^- T_N^n \right) \end{pmatrix} + \begin{pmatrix} \frac{h_1^n}{h_1^{n+1}} T_1^n \\ \vdots \\ \vdots \\ \frac{h_i^n}{h_i^{n+1}} T_i^n \\ \vdots \\ \vdots \\ \frac{h_N^n}{h_N^{n+1}} T_N^n \end{pmatrix}$$

# Résultats pour un maillage mobile



Résolution avec un maillage mobile

# Problèmes

Problème lors de l'ajout de l'adaptation de maillage dans le reste du code.

D'où vient-il ? Sûrement de la **dérivée seconde** utilisée pour créer la métrique.

Comment résoudre potentiellement ce problème ? **Borner** cette dérivée.

# Conclusion

- Résolution d'un système d'équations par la méthode des volumes finis
- Mise en place d'une méthode d'adaptation de maillage
- Découverte et application de la méthode ALE
- Résultats mitigés → réussite de certains objectifs